

01; 05

© 1990 г.

Журнал технической физики, т. 60, в. 1, 1990

**ДОМЕННО-ОРИЕНТАЦИОННЫЙ ВКЛАД В КОНСТАНТЫ  
СЕГНЕТОЭЛЕКТРИЧЕСКОГО ПОЛИДОМЕННОГО КРИСТАЛЛА  
И ПЬЕЗОКЕРАМИКИ**

В. И. Алешин

Методика расчета констант сегнетоэлектрического полидоменного кристалла (при неподвижных доменных стенах) была развита в [1]. В [2] эта методика использовалась при вычислении констант поляризованной керамики. Существенное расхождение полученных в [2] результатов с экспериментальными данными принято связывать с ориентационным вкладом (обусловленным упругим смещением доменных границ), который в подобных расчетах не учитывается. В настоящей работе рассмотрена модель полидоменного кристалла, аналогичная [1], с подвижными 90-градусными доменными стенками. Сделана оценка ориентационного вклада в константы кристалла. Далее на основе развитой модели проводится расчет констант керамики  $\text{BaTiO}_3$ .

**1. Ориентационный вклад в константы полидоменного кристалла**

Рассмотрим кристалл, обладающий 90-градусной доменной структурой (рис. 1), с доменами тетрагональной симметрии. Введем следующие обозначения:  $V$  — объем кристалла,  $H$  — средняя ширина домена,  $A$  — площадь доменной стены,  $n$  — число доменов в кристалле. Изменение поляризованности  $\Delta P_1$  и деформацию  $\Delta u_i$  кристалла, обусловленную смещением каждой доменной стены на величину  $x$  (в случае больших  $n$ ), можно представить в виде

$$\Delta P_1 = \sqrt{2} \frac{x}{H} P_0, \quad \Delta P_2 = \Delta P_3 = 0,$$

$$\Delta u_5 = 2 \frac{x}{H} S_0, \quad \Delta u_i = 0 \quad \text{при } i \neq 5. \quad (1)$$

Здесь  $P_0$  — спонтанная поляризованность домена,  $S_0 = (u_{03} - u_{01})$  — разность спонтанных деформаций.

Величину  $x$  рассчитаем, исходя из уравнения равновесия для доменной стены

$$c \mathbf{x} = f, \quad (2)$$

где  $f$  — термодинамическое давление, действующее на стенку.

Величина  $1/c$  является в данном случае характеристикой подвижности доменной стены. Будем полагать, что все стены в рассматриваемом кристалле обладают одинаковой подвижностью.

Обозначим компоненты среднего по объему  $V$  электрического поля (механического напряжения), приложенного к кристаллу, через  $E_i^*(T_i^*)$ , а компоненты полей (напряжений), действующих в доменах, через  $E'_i, E''_i (T'_i, T''_i)$  (в системе координат  $xyz$ ). Вычислим величину термодинамического давления  $f$ , действующего на стенку, пренебрегая при этом ее толщиной и полагая, что поля и напряжения, действующие в доменах, однородны. Энергия кристалла, связанная с действием электрических полей, при неподвижных стенах будет равна

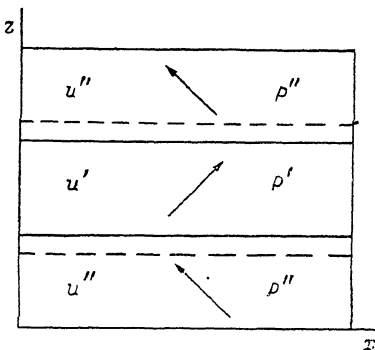


Рис. 1. Модель полидоменного кристалла с подвижными 90-градусными доменными границами.

$$w_0 = \int_V F dV = V_1 F_1 + V_2 F_2, \quad (3)$$

где  $V_1$ ,  $V_2$  — объемы доменов;  $F_1 = -(P'_1 E'_1 + P'_3 E'_3)$ ,  $F_2 = -(P''_1 E''_1 + P''_3 E''_3)$ .

Выражая  $P'_i$  и  $P''_i$  через  $P_0$  и учитывая, что для полей в доменах имеют место соотношения [1]  $E'_1 = E''_1 = E^*_1$ ,  $E'_3 = m_1 E'_3 + m_2 E''_3$ , находим

$$w_0 = -\frac{1}{\sqrt{2}} P_0 [(m_1 - m_2) E^*_1 + E^*_3] V, \quad (4)$$

где  $m_1$  и  $m_2$  — концентрации доменов.

Для кристалла, в котором произошло смещение стенок, имеем

$$w_E = V_1 \tilde{F}_1 + V_2 \tilde{F}_2 + \Delta V (\tilde{F}_1 - \tilde{F}_2), \quad (5)$$

где  $\Delta V = (n - 1) x A$  — переполяризовавшийся объем;  $\tilde{F}_1 = -(P'_1 \tilde{E}'_1 + P'_3 \tilde{E}'_3)$ ,  $\tilde{F}_2 = -(P''_1 \tilde{E}''_1 + P''_3 \tilde{E}''_3)$ ;  $\tilde{E}'_i$  и  $\tilde{E}''_i$  — поля в доменах при новом положении стенок.

Полагая, что среднее поле  $E^*_i$  и полный объем кристалла  $V$  не изменились, и выражая  $P'_i$  и  $P''_i$  через  $P_0$ , а  $\tilde{E}'_i$  и  $\tilde{E}''_i$  через  $E^*_i$ , находим

$$w_E = w_0 - \sqrt{2} P_0 E^*_1 \Delta V. \quad (6)$$

Аналогичным путем можно рассчитать упругую энергию кристалла, связанную с действием механических напряжений. Для случая, когда произошло смещение стенок, она имеет вид

$$w_T = w_0 - 2 S_0 T_5^* \Delta V, \quad (7)$$

где  $w_0 = -[1/2 (u_{01} + u_{03}) (T_1^* + T_3^*) + u_{02} T_2^* + (m_1 - m_2) S_0 T_5^*] V$  — энергия кристалла при неподвижных стенах.

Из (6) и (7) можно рассчитать величины термодинамических давлений  $f_E$ ,  $f_T$ , действующих на стенку,

$$f_E = -\frac{1}{A} \frac{\partial w_E}{\partial x} = \sqrt{2} P_0 E^*_1, \quad f_T = -\frac{1}{A} \frac{\partial w_T}{\partial x} = 2 S_0 T_5^*, \quad (8)$$

где производные берутся по смещению выбранной стенки (аналогичный результат для  $f_E$  и  $f_T$  получен в [3] без учета анизотропии кристалла).

Заметим, что индуцированные механические напряжения (электрические поля), возникающие в доменах при действии на кристалл электрического поля (механического напряжения), не дают вклада в термодинамическое давление, так как их средние по объему значения равны нулю.

Полагая, что ориентационный вклад в диэлектрические, пьезоэлектрические и упругие константы определяется соотношениями  $\varepsilon_0 \Delta \tilde{\varepsilon}_{ii}^T = \Delta P_i / E_i^*$ ,  $\Delta \tilde{d}_{ij} = \Delta P_i / T_j^* = \Delta u_j / E_i^*$ ,  $\Delta \tilde{s}_{ij}^T = \Delta u_i / T_j^*$ , находим из (1), (2) и (8)

$$\Delta \tilde{\varepsilon}_{11}^T = \frac{2 P_0^2}{\varepsilon_0 H_c}, \quad \Delta \tilde{d}_{15} = \frac{4 P_0 S_0}{\sqrt{2} H_c}, \quad \Delta \tilde{s}_{55}^T = \frac{4 S_0^2}{H_c}. \quad (9)$$

В остальные константы кристалла вклад, обусловленный смещением доменных стенок, отсутствует.

## 2. Ориентационный вклад в константы сегнетокерамики

Свойства керамики (особенно пьезоэлектрические) существенно зависят от распределения кристаллитов по ориентациям. Поэтому важным представляется вопрос о том, к каким распределениям могут привести те или иные процессы. Будем пользоваться из модели процесса поляризации, предложенной в [4]. Согласно этой модели керамика до приложения поля состоит из полидоменных кристаллитов со структурой типа «паркет» с равной концентрацией 180- и 90-градусных доменов. Доменная структура такого типа наблюдалась в керамике  $\text{BaTiO}_3$ , например, в [5]. Процесс поляризации начинается со 180-градусных переориентаций, которые осуществляются путем согласованного смещения 180-градусных доменных стенок в соседних 90-градусных доменах (их движение не должно приводить к появлению заряженных 90-градусных стенок). Очевидно, после завершения 180-градусных переориентаций

таций керамика будет состоять из полидоменных кристаллитов, обладающих 90-градусной доменной структурой (рис. 1).

Рассмотрим, как распределяются по ориентациям полярные оси доменов. Условие 180-градусных поворотов для произвольного кристаллита имеет вид [4]

$$|E' + E''| \geq E_c, \quad (10)$$

где  $E'$  и  $E''$  — поля, действующие вдоль полярных осей соседних 90-градусных доменов;  $E_c$  — некоторое критическое поле, выше которого начинается необратимое движение 180-градусных доменных стенок.

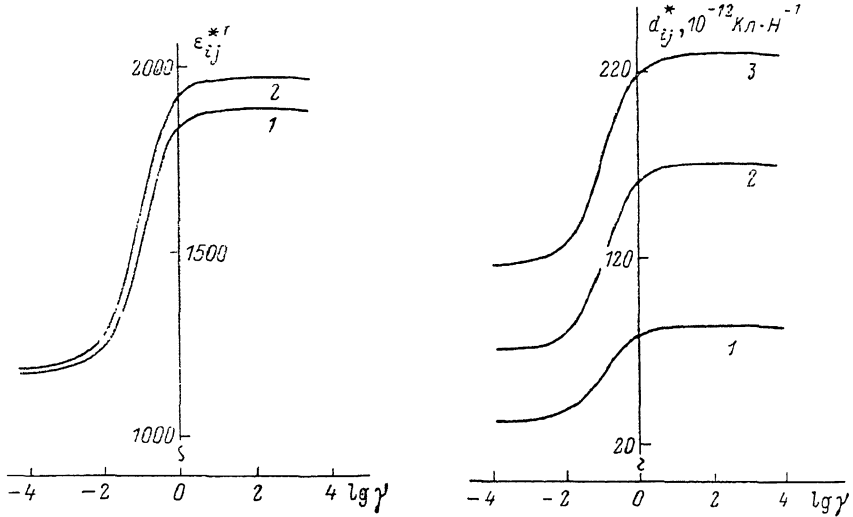


Рис. 2. Зависимости компонент диэлектрической проницаемости  $\epsilon_{ij}^{*T}$  керамики  $\text{BaTiO}_3$  от величины  $\lg \gamma$ , характеризующей подвижность доменных границ.

$$1 - \epsilon_{11}^{*T}, 2 - \epsilon_{33}^{*T}.$$

Рис. 3. Зависимости компонент пьезомодулей  $d_{ij}^*$  керамики  $\text{BaTiO}_3$  от величины  $\lg \gamma$ , характеризующей подвижность доменных границ.

$$1 - d_{31}^*, 2 - d_{33}^*, 3 - d_{15}^*.$$

Выражая  $E'$  и  $E''$  через компоненты поля  $E_i^*$  среднего по объему кристалла (в системе координат  $xyz$ ) и переходя обычным способом к системе координат керамики, находим

$$|\cos \theta| \geq \frac{E_c}{\sqrt{2} E}, \quad (11)$$

где  $E$  — поляризующее поле,  $\theta$  — угол между осью  $z$  кристаллита и направлением действия поля.

После поляризации кристаллита его средняя поляризованность будет равна  $P_0/\sqrt{2}$  и направлена вдоль оси  $z$ . Из условия (11) следует, что в результате 180-градусных поворотов средние дипольные моменты кристаллитов равномерно распределяются в верхней полусфере (при этом для кристаллитов с  $\pi/4 < \theta < \pi/2$  дипольные моменты части доменов оказываются ориентированными в нижней полусфере). Остаточная поляризованность керамики будет равна  $P_0/2\sqrt{2} \approx 0.35P_0$ .

Полученный результат противоречит выводу [4] о том, что в результате 180-градусных поворотов полярные оси всех доменов должны равномерно распределиться в верхней полусфере (при этом  $P=0.5P_0$ ). Такое распределение может быть получено только при снятии предположения о согласованном движении 180-градусных доменных границ и должно приводить к появлению в керамике большого числа заряженных 90-градусных стенок.

Известно, что процесс поляризации керамики  $\text{BaTiO}_3$  обусловлен главным образом 180-градусными переориентациями доменов (доля 90-градусных поворотов составляет около 12 %). При этом достигается значение остаточной поляризованности  $P=0.08 \text{ Кл}/\text{м}^2$ , что составляет  $0.31P_0$ , где  $P_0=0.26 \text{ Кл}/\text{м}^2$  — спонтанная поляризованность монокристалла. Та-

ким образом, модель керамики, учитывающая взаимодействие между доменами в процессе поляризации, приводит к значению остаточной поляризованности, которое удовлетворительно согласуется с экспериментальным.

Посмотрим теперь, как ведут себя при наличии ориентационного вклада диэлектрические, пьезоэлектрические и упругие константы керамики. Вычисление их проводилось на основе метода эффективной среды, в рамках которого учтена анизотропия керамики и пьезоэлектрическое взаимодействие между кристаллитами [6]. Для расчетов использовались те же значения констант монокристалла  $\text{BaTiO}_3$ , что и в [1].

Рассмотрим предельный случай, когда в керамике прошли все 180-градусные повороты. Так как положение 90-градусных доменных стенок не изменилось, то будем полагать, что их подвижность в среднем одинакова для всех кристаллитов. Свойства кристаллитов при неподвижных стенках рассчитывались в соответствии с [1], дополнительный ориентационный вклад определялся из соотношений (9).

На рис. 2—4 представлены результаты численного расчета компонент диэлектрической проницаемости  $\epsilon_{ij}^{*T}$ , пьезомодулей  $d_{ij}^*$  и упругой податливости  $s_{ij}^{*E}$  керамики в зависимости от величины  $\lg \gamma$ .

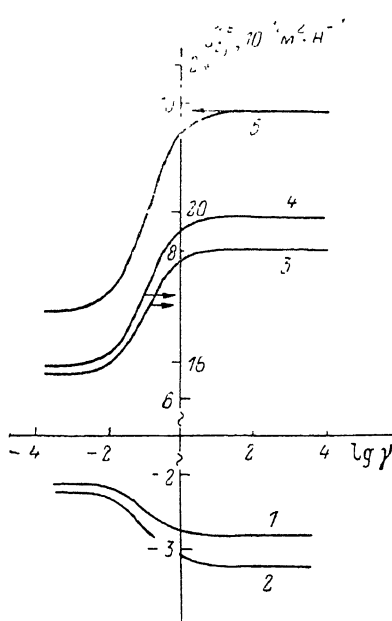


Рис. 4. Зависимости компонент упругой податливости  $s_{ij}^{*E}$  керамики  $\text{BaTiO}_3$  от величины  $\lg \gamma$ , характеризующей подвижность доменных границ.

$$1 - s_{12}^{*E}, 2 - s_{13}^{*E}, 3 - s_{11}^{*E}, 4 - s_{33}^{*E}, 5 - s_{44}^{*E}.$$

чины  $\lg \gamma$ , характеризующей подвижность 90-градусных стенок ( $\gamma = (Hc)^{-1} \times 10^6 \text{ H/m}^2$ ). Область  $\gamma < 0.01$  на рисунках соответствует малой подвижности, ориентационный вклад здесь очень мал и свойства керамики целиком определяются свойствами кристаллитов при неподвижных стенках. При  $\gamma > 0.01$  ( $\lg \gamma > -2$ ) поведение свойств керамики существенно зависит от соотношения между константами кристаллита  $\epsilon_{11}^T, d_{15}$  и  $s_{55}^E$ , содержащими ориентационный вклад. Для характеристики этого поведения удобно ввести величину  $K = d_{15}^2 / \epsilon_0 \epsilon_{11}^T s_{55}^E$ .

Пока выполняется условие  $K < 1$  ( $0.01 < \gamma < 10$ ) рост подвижности доменных стенок приводит к значительному росту всех компонент  $\epsilon_{ij}^{*T}, d_{ij}^*, s_{ij}^{*E}$ . При  $\gamma > 10$  значения констант  $\epsilon_{11}^T, d_{15}, s_{55}^E$  определяются главным образом ориентационным вкладом; выполняется соотношение  $K \approx \Delta d_{15}^2 / \epsilon_0 \Delta \epsilon_{11}^T \Delta s_{55}^E = 1$ , и все кривые на рис. 2, 3, 4 выходят на насыщение.  $\gamma \rightarrow \infty$  соответствует предельному случаю незакрепленных стенок; все константы керамики

Диэлектрические проницаемости  $\epsilon_{ij}^{*T}$ , пьезомодули  $d_{ij}^*$  ( $10^{-12} \text{ Кл/Н}$ )  
и упругие податливости  $s_{ij}^{*E}$  ( $10^{-12} \text{ м}^2/\text{Н}$ ) керамики  $\text{BaTiO}_3$

Параметры	Эксперимент [8]	Расчет		Параметры	Эксперимент [8]	Расчет	
		$\gamma = 0.1$	$\gamma = 0.17$			$\gamma = 0.1$	$\gamma = 0.17$
$\epsilon_{11}^{*T}$	1620	1631	1730	$s_{33}^{*E}$	8.93	8.09	8.45
$\epsilon_{33}^{*T}$	1900	1728	1824	$s_{44}^{*E}$	23.3	20.4	21.1
$s_{11}^{*E}$	8.55	7.23	7.45	$d_{31}^*$	-79	-79	-87
$s_{12}^{*E}$	-2.61	-2.36	-2.40	$d_{33}^*$	191	164	180
$s_{13}^{*E}$	-2.85	-2.97	-3.15	$d_{15}^*$	270	230	250

преобразуют здесь экстремальные значения, которые (при выполнении условия  $K=1$ ) переходят зависеть от конкретных значений  $\varepsilon_{11}^T$ ,  $d_{15}$ ,  $s_{55}^E$ .

Описанное поведение свойств сегнетокерамики обусловлено наличием пьезовзаимодействия между кристаллитами и качественно отличается от поведения свойств несегнетоэлектрических поликристаллических материалов. Так, в соответствии с [7] рост какой-либо компоненты диэлектрической проницаемости кристаллита всегда приводит к неограниченному росту эффективной проницаемости несегнетоэлектрического поликристалла. В связи с высказанным исследование свойств поликристаллов при наличии пьезовзаимодействия в рамках теории гетерогенных систем имеет особый интерес.

Сравним полученные результаты с известными экспериментальными данными. В таблице приводятся типичные значения констант поляризованной керамики  $\text{BaTiO}_3$  при комнатной температуре [8]. Как видно из приведенных на рис. 3 графиков, даже при очень большой подвижности доменных стенок не удается достигнуть экспериментальных значений пьезомодулей керамики. В связи с этим встает вопрос о необходимости привлечения других моделей, учитывающих, в частности, также 90-градусные повороты доменов в процессе поляризации. Авторы [6] обратили внимание на одну интересную тенденцию этого процесса, которую можно сформулировать следующим образом: перестройка доменной структуры в керамике происходит так, что возникающие 90-градусные стенки стремятся занять положения, при которых нормаль к плоскости стенки составляет с направлением поля наименьший угол. Очевидно, телесный угол  $\Omega$ , в котором будут ориентированы при этом средние дипольные моменты кристаллитов, становится меньше  $2\pi^4$ .

В таблице представлены результаты расчета для случая  $\Omega=2.8\pi^2$  (оценка дана на основе микроструктурных данных для поляризованной керамики  $\text{BaTiO}_3$  [5]) при  $\gamma=0.1$  и  $0.17$ . Расчетные значения пьезомодулей хорошо согласуются с экспериментальными.

### Список литературы

- [1] Турик А. В. // ФТТ. 1970. Т. 12. Вып. 3. С. 892—899.
- [2] Турик А. В., Чернобабов А. И. // ЖТФ. 1977. Т. 47. Вып. 9. С. 1944—1948.
- [3] Arlt G., Dederichs H. // Ferroelectrics. 1980. Vol. 29. P. 47—50.
- [4] Исупов В. А. // ФТТ. 1967. Т. 9. Вып. 5. С. 1417—1423.
- [5] Крамаров О. П., Экнадиосянц Е. И., Никулина В. П. // Электронная техника. Сер. 14. Материалы (Неорганические диэлектрики). 1969. № 4. (20). С. 89—94.
- [6] Аleshin B. I. // Кристаллография. 1987. Т. 32. № 2. С. 422—426.
- [7] Оделевский В. И. // ЖТФ. 1951. Т. 21. Вып. 11. С. 1379—1382.
- [8] Яффе Б., Куку У., Яффе Г. Пьезоэлектрическая керамика. М.: Мир, 1974. 288 с.

Ростовский-на-Дону  
государственный университет  
Научно-исследовательский  
институт физики

Поступило в Редакцию  
20 мая 1988 г.  
В окончательной редакции  
10 ноября 1988 г.

## ОБРАЗОВАНИЕ ДОЛГОЖИВУЩИХ СВЕТЯЩИХСЯ ОБЪЕКТОВ ПРИ РАСПАДЕ ПЛОТНОЙ НИЗКОТЕМПЕРАТУРНОЙ ВОДЯНОЙ ПЛАЗМЫ

П. И. Голубничий, В. М. Громенко, В. М. Крутов

Процессы, происходящие в результате мощного искрового энерговыделения в жидкости, представляют значительный интерес для специалистов в таких областях, как физика низкотемпературной плазмы, гидродинамика, акустика, физическая химия и т. д. Особое внимание исследователей привлекают плотная низкотемпературная разрядная плазма, динамика пузырьсирующей полости, образующейся в жидкости в результате энерговыделения, а также процессы, сопровождающие последнюю стадию склонования каверны, т. е. ее колапс. Результаты таких работ приведены, например, в [1—4].